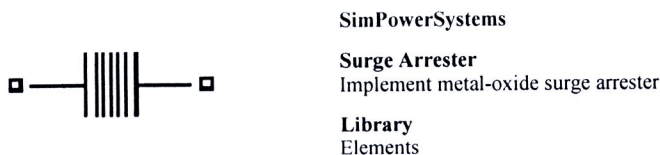


บทที่ 3

วิธีการดำเนินการวิจัย

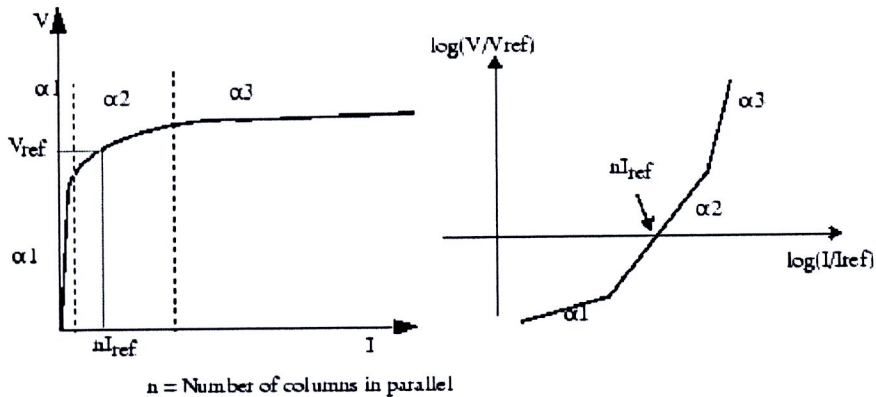
3.1 แบบจำลองของกับดักเสร็จแบบ ZnO บนพื้นฐานการวัดกระแสรั่วไหล



รูปที่ 3.1 แสดงสัญลักษณ์ของ Surge Arrester Block ในโปรแกรม MATLAB/SIMULINK

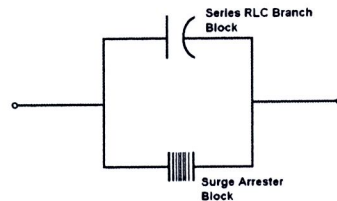
Surge Arrester Block ในโปรแกรม MATLAB ใช้แทนความต้านทานที่มีลักษณะเฉพาะความไม่เป็นเรียงเส้นตรงสูง (highly nonlinear resistor) ซึ่งประกอบด้วยแวริสเตอร์บล็อก (varistor block) จำนวนหลายแห่งอัดซ้อนกัน จำนวนแห่งแวริสเตอร์บล็อกที่มารุ่มนกันจะขึ้นอยู่กับพิกัดแรงดันของกับดักเสร็จ โดยที่ขนาดกระแสจะขึ้นอยู่กับจำนวนแห่งแวริสเตอร์บล็อกที่มาต่อขนานกัน ค่า V-I characteristic ของกับดักเสร็จแต่ละตัวจะจำลองด้วยรูป พังก์ชันเอกซ์โพเนนเชียล (exponential function) จำนวน 3 พังก์ชันรวมกัน ตามสมการที่ 3.1 โดยแสดงเส้นคุณลักษณะเฉพาะทาง กระแสและแรงดัน (V-I characteristic) ตามรูปที่ 3.2

$$\frac{V}{V_{ref}} = k_i \left(\frac{I}{I_{ref}} \right)^{1/\alpha_i} \quad (3.1)$$



รูปที่ 3.2 เส้นแสดงคุณลักษณะเฉพาะทาง กระแสและแรงดัน ของกับดักเสร็จชนิด ZnO

แบบจำลองกับดักเสิร์จที่ใช้วิเคราะห์ในโปรแกรม MATLAB/SIMULINK ในการศึกษา วิจัยนี้ จะประกอบด้วยความต้านทานไม่เป็นเชิงเส้นตรง (Surge Arrester Block) ต่อขนานกับ สเตอร์ค้าปั๊เซเตอร์ (Series RLC Branch Block) ดังแสดงในรูปที่ 3.3



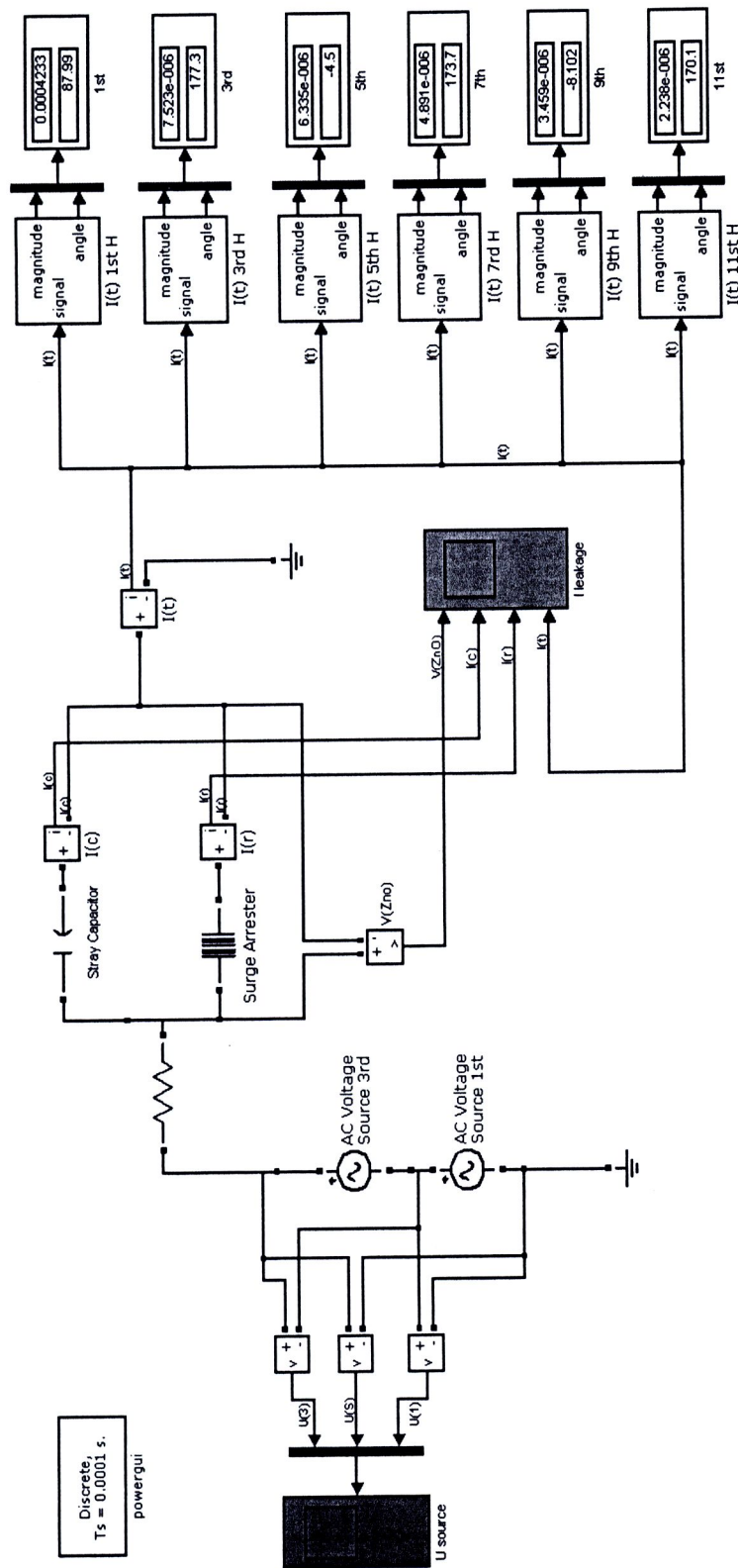
รูปที่ 3.3 แบบจำลองกับดักเสิร์จที่ในการใช้วิเคราะห์

จากตัวอย่างกับดักเสิร์จของระบบแรงดันใช้งาน 22 kV (nominal system voltage) ซึ่งเป็นแรงดัน ระบบจำหน่ายกำลังไฟฟ้า ของการไฟฟ้าส่วนภูมิภาค (กฟภ.) ที่ใช้ในการศึกษา มีขีดพิกัด System voltages $U_c = 17 \text{ kV}$, Rated voltages $U_r = 21 \text{ kV}$ และ Nominal discharge current (IEC 60099-4) $I_r = 5 \text{ kApeak}$ ในที่นี่จะกำหนดค่าคงที่ สำหรับแบบจำลองกับดักเสิร์จในโปรแกรม MATLAB/SIMULINK เพื่อใช้สำหรับการศึกษาวิเคราะห์ ดังนี้

Protection voltage Vref	: $21 \times 10^3 \times \sqrt{2} \text{ V}$
Number of columns	: 1
Reference current per column Iref	: 5000 A
Segment 1 characteristics	: $k_1 = 0.955$, $\alpha_1 = 46.0$
Segment 2 characteristics	: $k_2 = 1.0$, $\alpha_2 = 25.0$
Segment 3 characteristics	: $k_3 = 0.9915$, $\alpha_3 = 16.5$
Measurements	: Branch voltage and current

3.2 การวิเคราะห์กระแสรั่วไฟลอดโดยใช้แบบจำลองในโปรแกรม MATLAB/SIMULINK

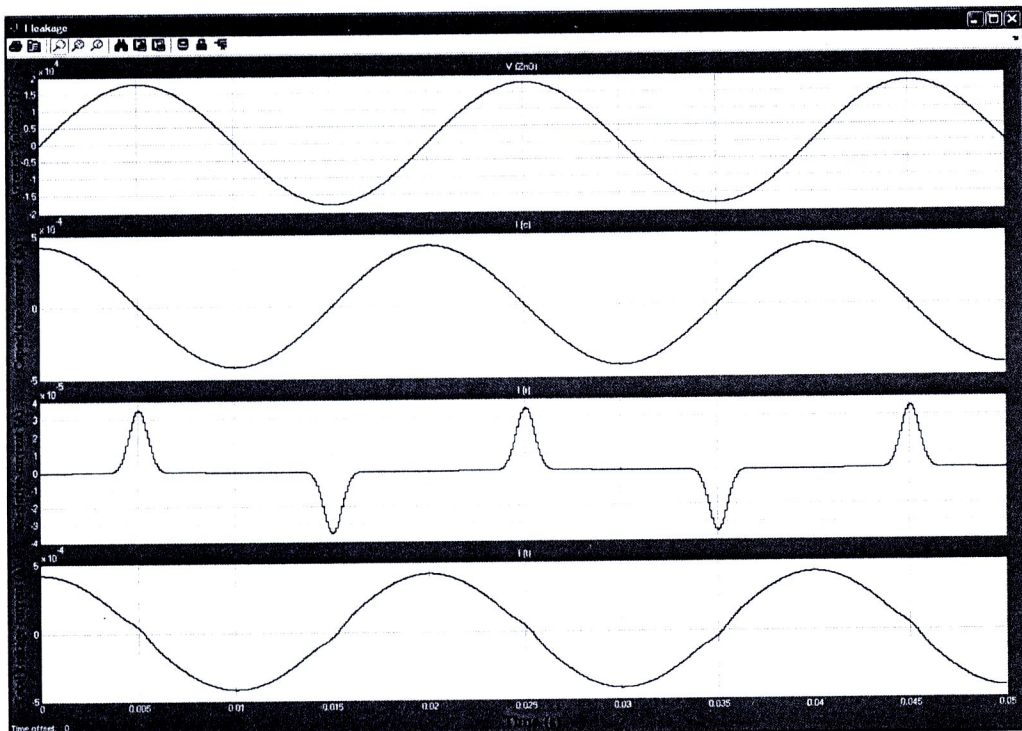
แบบจำลองคอมพิวเตอร์ โดยใช้โปรแกรม MATLAB/SIMULINK ดังแสดงตาม รูปที่ 3.4 ได้นำมาใช้ในการศึกษาวิเคราะห์กระแสรั่วจากความต้านทานของ แวรริสเตอร์รับลือกในกับดัก เสิร์จ โดยการหาส่วนประกอบชาร์โอมนิกลำดับที่ 3 ของกระแสรั่วความต้านทาน ในสภาพเงื่อนไข ระดับแรงดันใช้งานของระบบที่ค่าต่างๆ ตั้งแต่ 10 – 120 % และส่วนประกอบชาร์โอมนิกลำดับที่ 3 ตั้งแต่ 0 – 5 % ของพิกัดแรงดันใช้งานของระบบ โดยได้ผลจากการศึกษาในเงื่อนไขต่างๆ ตามลำดับ ดังนี้



รูปที่ 3.4 แบบจำลองในโปรแกรม MATLAB/SIMULINK ที่ใช้ในการวิเคราะห์กราฟและวัด

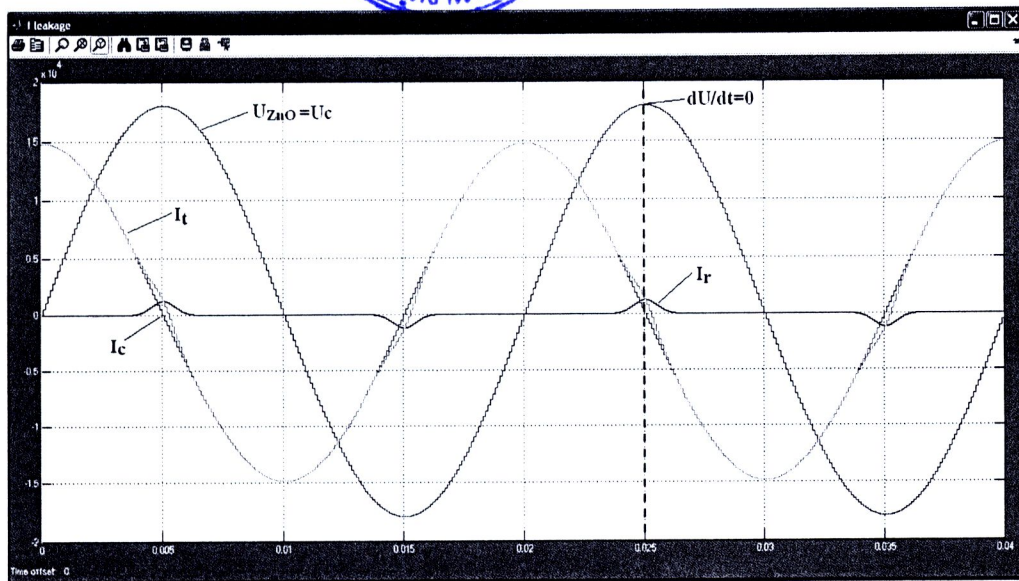
3.2.1 กระแสรั่วไฟฟ้าของกับดักเสิร์จเมื่อเปลี่ยนแปลงค่าระดับแรงดันใช้งาน

ผลการศึกษา กระแสรั่วไฟฟ้าของกับดักเสิร์จ จากแบบจำลอง เมื่อมีการเปลี่ยนแปลงระดับแรงดันใช้งานของระบบ ตั้งแต่ 10 – 120 % ของระดับแรงดันพิกัดใช้งานของระบบ (22 kV) เมื่อไม่มีส่วนประกอบชาร์โโนนิกลำดับที่ 3 ในแรงดันของระบบ แสดงตาม รูปที่ 3.5 – 3.9



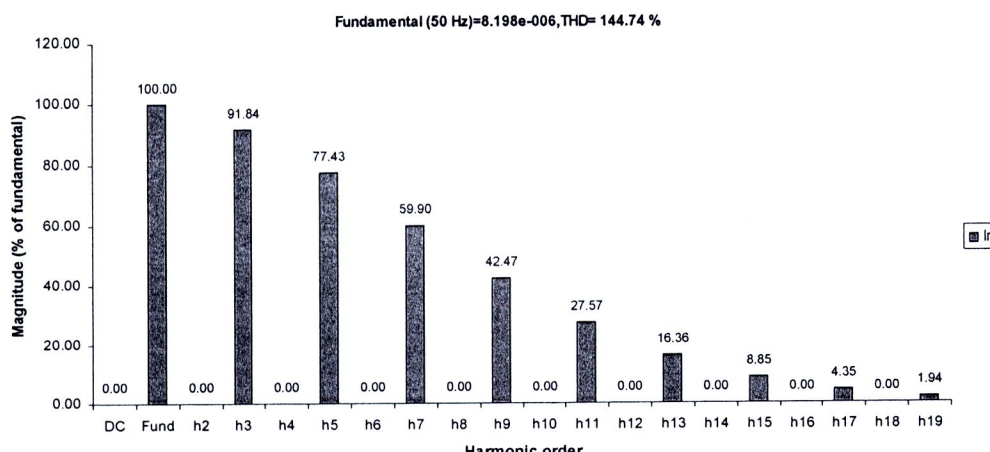
รูปที่ 3.5 รูปคลื่นสัญญาณแรงดัน และกระแสจากการจำลองใน MATLAB/SIMULINK
(ก) แรงดันคร่อมกับดักเสิร์จ (ข) กระแสรั่วคาปาซิตีฟ (ค) กระแสรั่วความ
ด้านทาน (ง) กระแสรั่วไฟฟ้ารวมของกับดักเสิร์จ

รูปที่ 3.5 แสดงรูปคลื่นสัญญาณกระแสรั่วไฟฟ้าของกับดักเสิร์จ เทียบกับสัญญาณแรงดันข้างอิจ จากการจำลองในโปรแกรม MATLAB/SIMULINK ที่ระดับแรงดันพิกัด 22 kV จะเห็นว่าส่วนประกอบกระแสของความด้านทานมีลักษณะไม่เป็นรูปคลื่นไซน์ เนื่องจากคุณลักษณะ V-I characteristics ของกับดักเสิร์จแบบ ZnO ไม่เป็นเชิงเส้นตรง และมีมุมร่วมเฟสกันกับแรงดันคร่อมกับดักเสิร์จ ในขณะที่ส่วนประกอบกระแสคาปาซิตีฟซึ่งเป็นกระแสส่วนใหญ่ของกระแสรั่วไฟฟ้ารวม มีลักษณะเป็นรูปคลื่นไซน์ แต่มีมุมนำหน้าแรงดันคร่อมกับดักเสิร์จ 90° เมื่อมีการวัดกระแสรั่วไฟฟ้ารวม แล้วนำมาวิเคราะห์แยกส่วนประกอบชาร์โโนนิกลำดับที่ 3 ของกระแสรั่วจากความด้านทานออกมานี้ ก็จะได้ตัวบ่งชี้ซึ่งสามารถนำมาใช้ในการวินิจฉัยสภาพของกับดักเสิร์จ ที่ติดตัวใช้งานอยู่ในระบบ

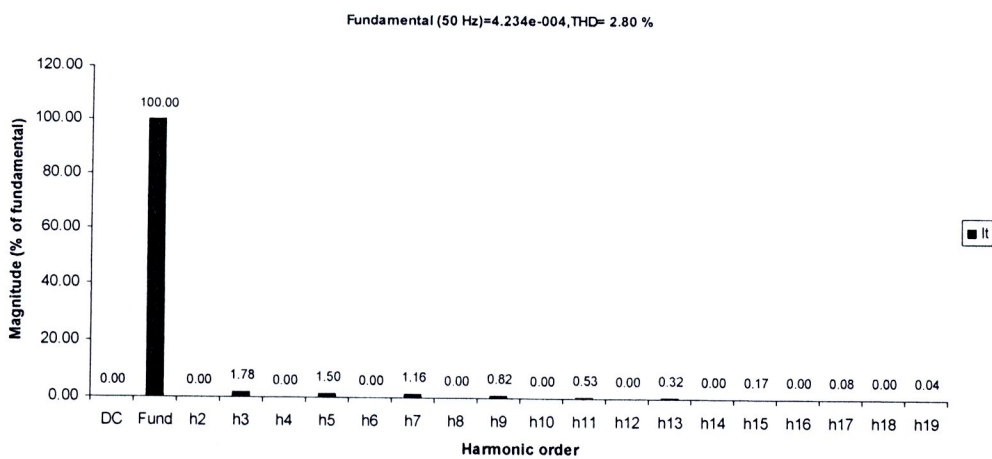


รูปที่ 3.6 กระแสรั่วไฟฟาร์มของกับดักเสิร์จที่ได้จากการจำลองในโปรแกรม MATLAB

รูปที่ 3.6 แสดงรูปคลื่นสัญญาณกระแสรั่วไฟฟาร์มของกับดักเสิร์จ เทียบกับสัญญาณแรงดันอ้างอิงที่ได้จากการจำลองในโปรแกรม MATLAB ที่ระดับแรงดันพิกัด 22 kV โดยที่ส่วนประกอบกระแสปาซิติฟมีมุนนำหน้าแรงดันคร่อมกับดักเสิร์จ 90° ดังนั้น ถ้าไม่มีส่วนประกอบกระแสรั่วความต้านทาน เมื่อแรงดันคร่อมกับดักเสิร์จมีค่าสูงสุด ($dV/dt = 0$) กระแสปาซิติฟจะมีค่าเป็นศูนย์ จากรูปจะเห็นว่าที่ค่าแรงดันสูงสุด รูปคลื่นสัญญาณกระแสรั่วไฟฟาร์ม ซึ่งองค์ประกอบส่วนใหญ่เป็นกระแสปาซิติฟ มีค่าไม่เป็นศูนย์ ทั้งนี้เป็นผลมาจากการกระแสรั่วความต้านทาน ซึ่ง ณ ตำแหน่งนี้ของรูปคลื่นสัญญาณกระแสรั่วไฟฟาร์จ คือค่ายอด (peak) ของกระแสรั่วความต้านทานของกับดักเสิร์จ

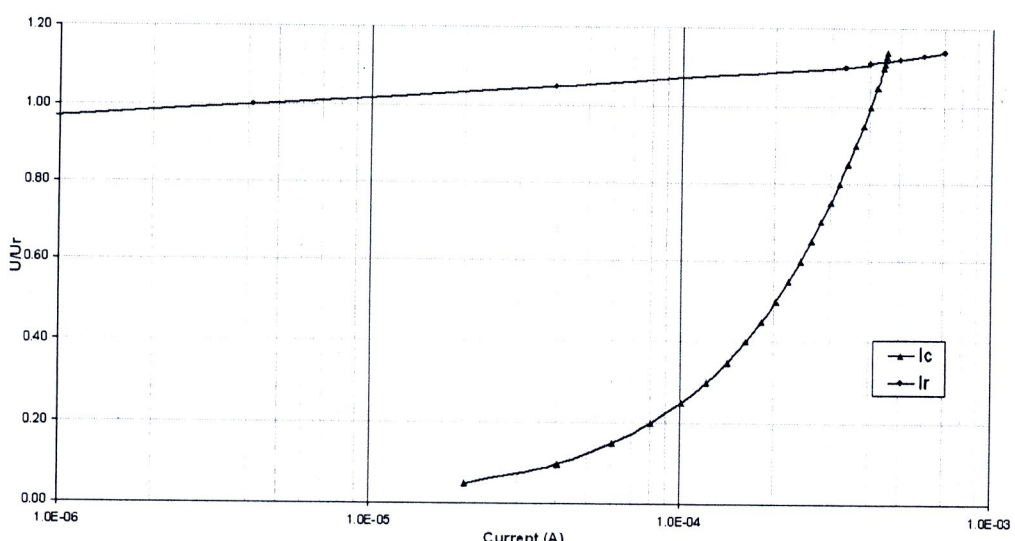


รูปที่ 3.7 ชาร์โนมนิคスペกตรัมของกระแสรั่วความต้านทานที่ได้จากการวิเคราะห์ FFT



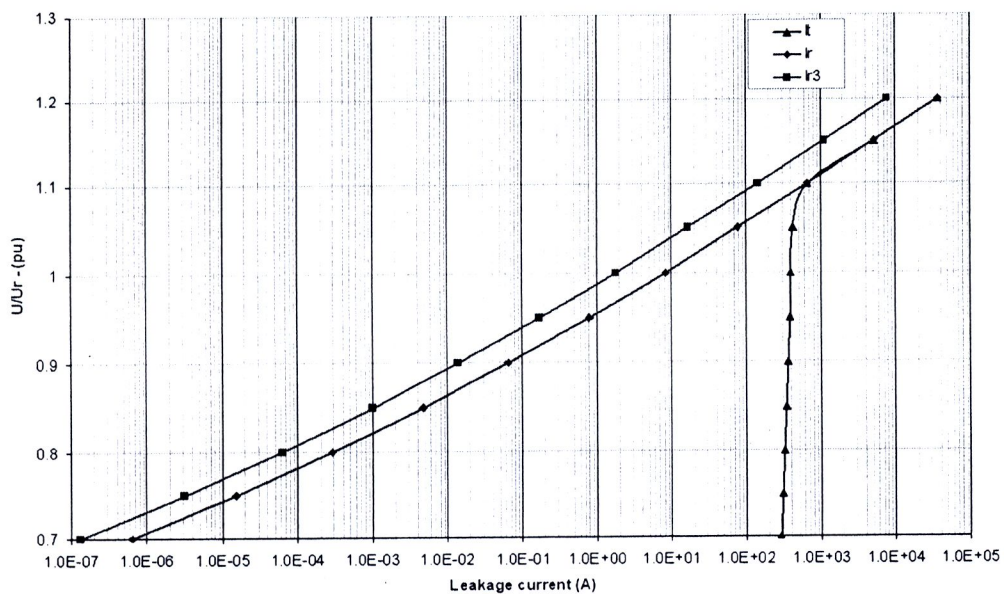
รูปที่ 3.8 ชาร์โอมนิกสเปกตรัมของกระแสรั่วไฟฟ้าที่ได้จากการวิเคราะห์ FFT

รูปที่ 3.7 และ รูปที่ 3.8 แสดงผลวิเคราะห์หาค่ากระแสอาร์โอมนิก ของกระแสรั่วความต้านทาน และกระแสรั่วไฟฟ้า (ไม่มีส่วนประกอบกระแสอาร์โอมนิกลำดับที่ 3 ในแรงดันอ้างอิง) โดยใช้วิเคราะห์ FFT (Fast Fourier Transform Analysis) ใน MATLAB จาก รูปที่ 3.7 จะเห็นว่ากระแสรั่วความต้านทาน มีขนาดกระแสอาร์โอมนิกลำดับที่ 3 ถึง 91.84 % ของกระแสองค์ประกอบพื้นฐาน (fundamental) ซึ่งมีขนาดค่าสูงสุดอยู่ที่ $8.918 \mu\text{A}$ แต่เมื่อเทียบกับองค์ประกอบพื้นฐานของกระแสรั่วไฟฟ้าตาม รูปที่ 3.8 จะมีขนาดเพียง 1.78 % ซึ่งถือว่าต่ำมาก ดังนั้นหากมีการรับกวนจากชาร์โอมนิกลำดับที่ 3 ของกระแสภาคปัจจิตร์ จากส่วนประกอบชาร์โอมนิกลำดับที่ 3 ของแรงดันระบบ ก็จะทำให้มีความคลาดเคลื่อนในการวัดอย่างมาก



รูปที่ 3.9 แสดงคุณลักษณะทางกระแส-แรงดัน ของก้นตักเดิร์จชนิด ZnO ที่ได้จากการจำลองในโปรแกรม MATLAB (ผลการทดสอบตารางที่ ก.1 ของภาคผนวก ก.)

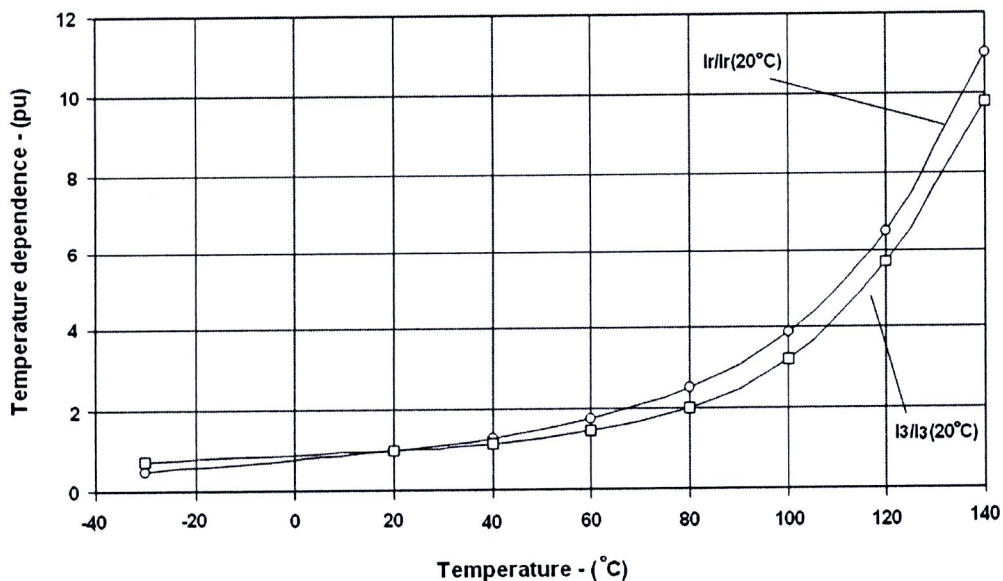
รูปที่ 3.9 ได้จากการวิเคราะห์ FFT ในโปรแกรม MATLAB แสดงคุณลักษณะทางกระแสและแรงดัน ของกับดักเซร์จชนิด ZnO ซึ่งมีลักษณะไม่เป็นเชิงสัมตรง จากรูปจะเห็นว่าที่ค่าแรงดันต่ำๆ จะมีกระแสสร้างความต้านทานน้อยมาก ในขณะที่กระแสสร้างความต้านทานปานกลาง มีขนาดเปลี่ยนแปลงเพิ่มขึ้นตามค่าแรงดัน ซึ่งหมายความว่า ถ้ามีส่วนประกอบกระแสโมนิกลำดับที่ 3 อยู่ในแรงดันของระบบ ก็จะทำให้มีส่วนประกอบกระแสโมนิกลำดับที่ 3 ปนอยู่ในกระแสสร้างไว้ รวมด้วย และกระแสสาร์โมนิกดังกล่าวก็จะมีค่าเปลี่ยนแปลงเพิ่มขึ้นตามค่าแรงดันของระบบ เช่นเดียวกัน ดังนั้นการวัดค่ากระแสสร้างความต้านทานโดยการวิเคราะห์แยกกระแสสาร์โมนิกลำดับที่ 3 จากกระแสสร้างไว้ทั่วไปรวม จึงต้องมีการชดเชยความคลาดเคลื่อนจากกระแสสาร์โมนิกของแรงดันระบบด้วย



รูปที่ 3.10 คุณลักษณะทางกระแส-แรงดันของกับดักเซร์จชนิด ZnO แสดงความสัมพันธ์ของกระแสสร้างไว้ทั่วไปรวม กระแสสร้างความต้านทาน และส่วนประกอบกระแสโมนิกลำดับที่ 3 ที่ได้จากการวิเคราะห์ FFT ในโปรแกรม MATLAB (ผลการทดสอบตารางที่ ก.2 ของภาคผนวก ก.)

รูปที่ 3.10 ได้จากการจำลองในโปรแกรม MATLAB จะเห็นว่าอิทธิพลของแรงดันไฟฟ้าในระบบ ที่มีต่อกระแสสาร์โมนิกลำดับที่ 3 ของกระแสสร้างไว้ แหล่ง และกระแสสร้างความต้านทาน มีลักษณะที่คล้ายคลึงกันมาก จากรูปช่วยให้คำอธิบายว่า ทำไมกระแสสาร์โมนิกลำดับที่ 3 จึงสามารถนำมาใช้หาค่ากระแสสร้างความต้านทานได้ อย่างไรก็ตามขนาดของกระแสที่ต้องการวัดมีค่าต่ำมาก จากการจำลองจะเห็นว่า ในขณะที่กระแสสร้างไว้แหล่งของกับดักเซร์จจะมีค่าต่ำอยู่ที่ระดับแรงดันใช้งาน มีค่าสูงสุดอยู่ที่ $425 \mu\text{A}$ และกระแสสร้างความต้านทานมีขนาดประมาณ $78 \mu\text{A}$ จะมีกระแสสาร์โมนิกลำดับที่ 3 เพียง $16 \mu\text{A}$ ซึ่งจะเห็นว่ามีขนาดเพียง 3.7% ของกระแสสร้างไว้แหล่งทั้งหมด

เพื่อที่จะชดเชยความคลาดเคลื่อนของการวัด เนื่องจากผลของอุณหภูมิ และแรงดันไฟฟ้า ของกับดักเซร์จ และแปลงค่าไปเป็นค่ากระแสร่วมความต้านทานที่ถูกต้องสมบูรณ์ (absolute value) จึงมีความจำเป็นที่จะต้องทราบความสัมพันธ์ของกระแสร่วมความต้านทาน ต่อการเปลี่ยนแปลงค่าอุณหภูมิ และแรงดันไฟฟ้าดังกล่าวข้างต้น รวมถึงอัตราส่วนระหว่างส่วนประกอบของกระแสาร์โอมิกลำดับที่ 3 กับกระแสร่วมความต้านทาน ความสัมพันธ์ดังกล่าวข้างต้นแสดงไว้ใน รูปที่ 3.11 ถึง รูปที่ 3.14

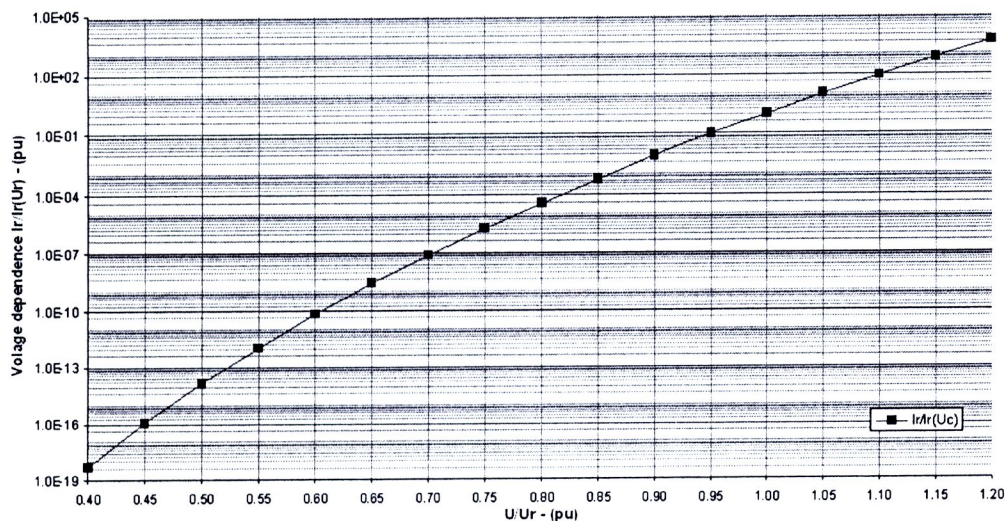


รูปที่ 3.11 แสดงการเปลี่ยนแปลงค่าของกระแสร่วมความต้านทาน และส่วนประกอบของกระแสาร์โอมิกที่ 3 ที่ขึ้นต่ออุณหภูมิ [32]

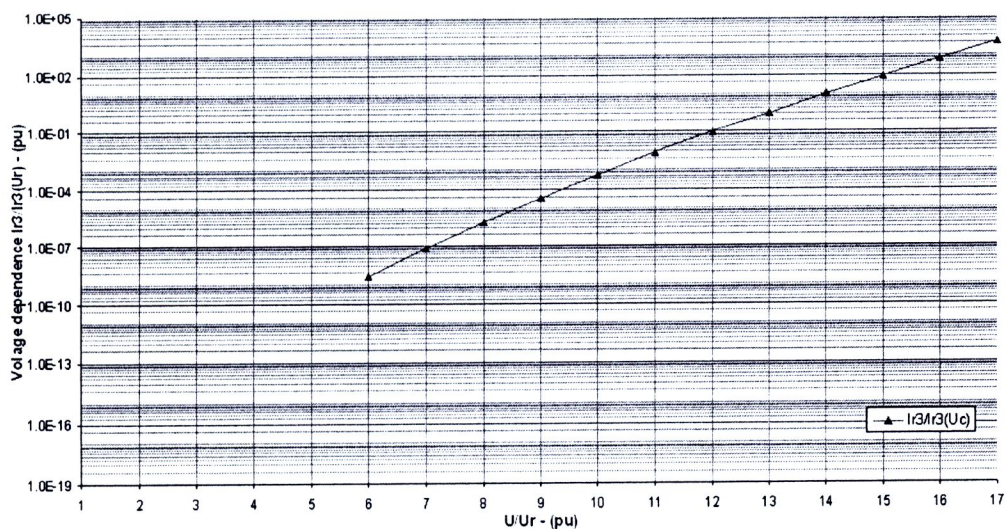
เนื่องจากขณะทำการวัดกระแสร่วมความต้านทาน เราไม่สามารถทราบค่าอุณหภูมิที่แท้จริงของตัวต้านทาน เราจึงทำได้เพียงประเมินหาค่าอุณหภูมิแวดล้อม ปกติอุณหภูมิการทำงานอย่างต่อเนื่องของกับดักเซร์จ เนื่องความร้อนจากพลังงานสูญเสียในตัวต้านทาน จะสูงกว่าอุณหภูมิแวดล้อมเพียงไม่กี่องศา แต่มือพิจารณาความร้อนจากรังสีของดวงอาทิตย์ และการดีษชาร์จบนผิวนาน เนื่องจากการปนเปื้อนจากสิ่งแวดล้อม อุณหภูมิของกับดักเซร์จจะเพิ่มมากขึ้นกว่าผลจากการทำงานตามปกติมาก ด้วยเหตุนี้การทดสอบการทำงานของกับดักเซร์จ (operating duty test) ตามมาตรฐาน IEC 60099-4 จึงเริ่มทดสอบที่อุณหภูมิ 60°C โดยได้นำอิทธิพลของการรับกวนดังกล่าวมาพิจารณาไว้ด้วย

จาก รูปที่ 3.11 จะเห็นได้ว่าเมื่ออุณหภูมิเพิ่มขึ้นจาก 20°C เป็น 60°C จะทำให้ส่วนประกอบกระแสร่วมความต้านทานเพิ่มขึ้น 70% โดยประมาณ และส่วนประกอบกระแสาร์โอมิกลำดับที่ 3 เพิ่มขึ้นโดยประมาณ 50% การเปลี่ยนแปลงนี้นำไปสู่ความไม่แน่นอนในการวัด

ค่ากระแสเร็วไฟล โดยใช้หลักการวิเคราะห์กระแสหาร์โนนิกลำดับที่ 3 ดังนั้นมีความจำเป็นต้องทราบค่าข้อต្រាត่วนที่แน่นอนระหว่างกระแสเร็วไฟธรรม และกระแสหาร์โนนิกลำดับที่ 3 เมื่อมีการเปลี่ยนแปลงอุณหภูมิที่แท้จริงของกับดักเสร็จ



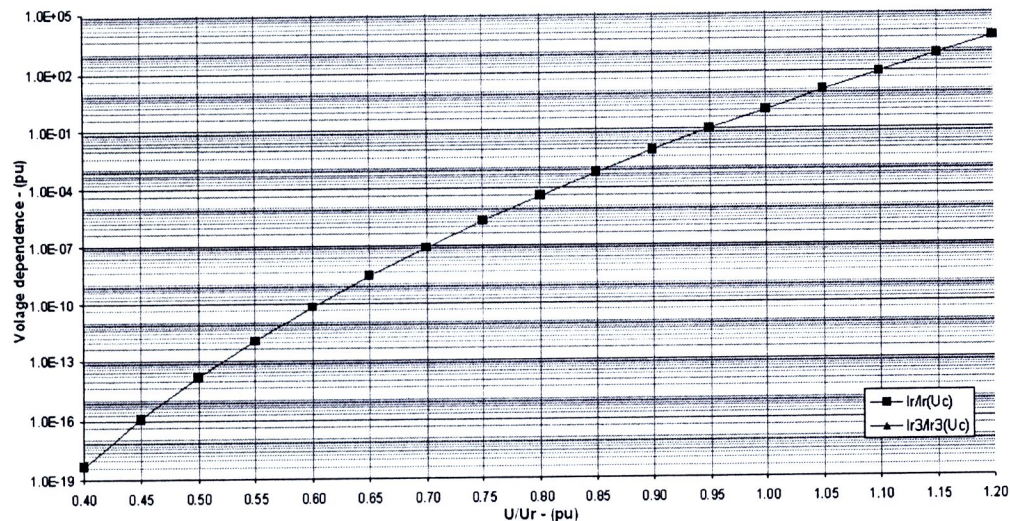
รูปที่ 3.12 ผลทดสอบโดยการจำลองในโปรแกรม MATLAB เพื่อทำการเปลี่ยนแปลงค่าของกระแสเร็วความด้านทานที่ขึ้นต่อค่าแรงดันใช้งาน (ผลการทดสอบตารางที่ ก.3 ของภาคผนวก ก.)



รูปที่ 3.13 ผลการจำลองในโปรแกรม MATLAB เพื่อทำการเปลี่ยนแปลงค่าส่วนประกอบกระแสหาร์โนนิกที่ 3 ของกระแสเร็วความด้านทานที่ขึ้นต่อค่าแรงดันใช้งาน (ผลการทดสอบตารางที่ ก.4 ของภาคผนวก ก.)

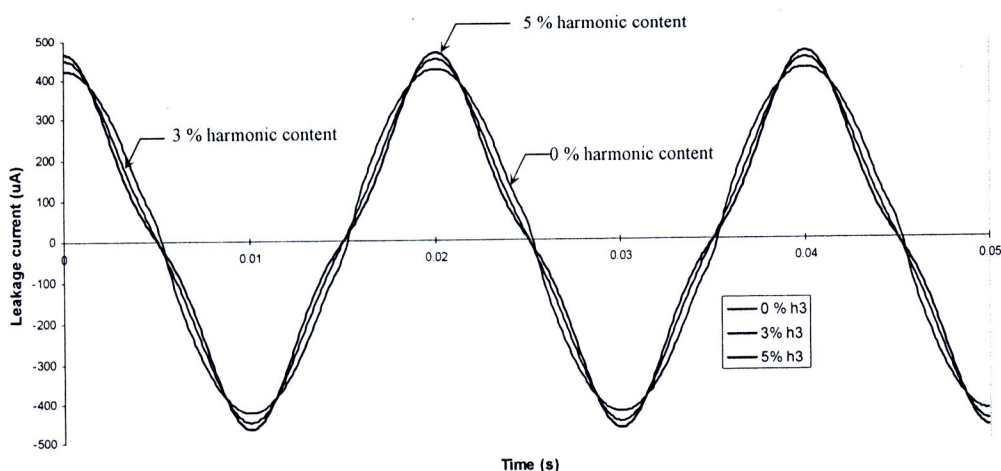
รูปที่ 3.12 ถึง รูปที่ 3.14 ได้จากผลการจำลองในโปรแกรม MATLAB เพื่อทำการเปลี่ยนแปลงค่ากระแสเร็วความด้านทาน และการเปลี่ยนแปลงค่าส่วนประกอบหาร์โนนิกที่ 3 ของ

กระแสรั่วความต้านทาน ต่อค่าแรงดันใช้งาน จากรูปที่ 3.14 จะเห็นว่าอิทธิพลของแรงดันไฟฟ้าในระบบ ที่มีต่อกระแสรั่วความต้านทาน และส่วนประกอบของ โอมนิกลำดับที่ 3 ของกระแสรั่วความต้านทาน เป็นไปในทิศทางเดียวกัน ดังนั้น ในกรณีที่ไม่มีชาร์โอมนิกลำดับที่ 3 ปนอยู่ในแรงดันระบบ จึงสามารถนำกระแสรั่วชาร์โอมนิกลำดับที่ 3 มาใช้หาค่ากระแสรั่วความต้านทานได้อย่างถูกต้องแม่นยำ



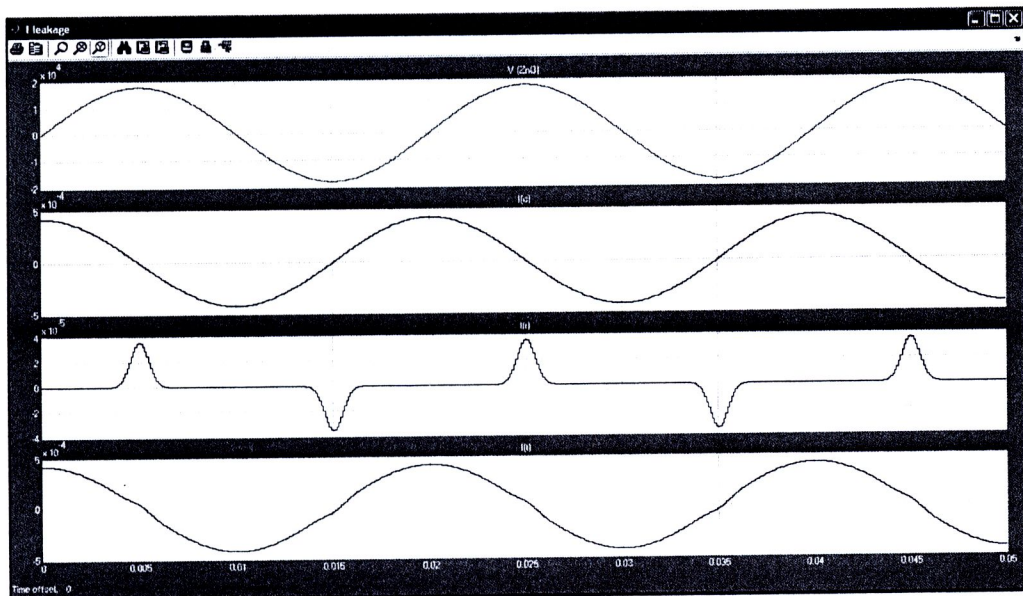
รูปที่ 3.14 แสดงการเปลี่ยนแปลงค่ากระแสรั่วความต้านทาน และส่วนประกอบของกระแสรั่วชาร์โอมนิกที่ 3 ของกระแสรั่วความต้านทาน ต่อค่าแรงดันใช้งาน จากผลการจำลองในโปรแกรม MATLAB (ผลการทดสอบตารางที่ ก.3-ก.4 ของภาคผนวก ก.)

3.2.2 กระแสรั่วไฟลุกของกับคักเสิร์จเมื่อมีส่วนประกอบชาร์โอมนิกในแรงดันใช้งาน

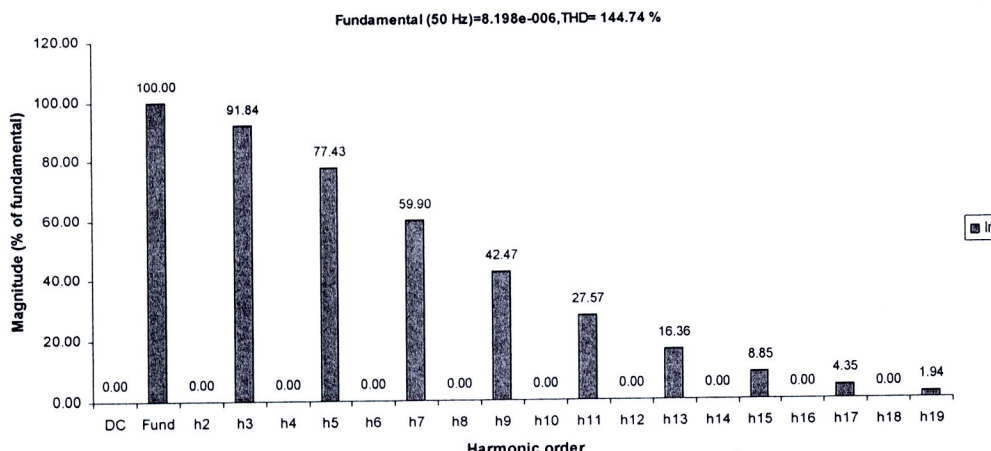


รูปที่ 3.15 ผลจากการจำลองโดยใช้โปรแกรม MATLAB แสดงให้เห็นว่ากระแสรั่วไฟลุก (I_L) ของกับคักเสิร์จมีค่าสูงขึ้น เมื่อมีแรงดันชาร์โอมนิกลำดับที่ 3 ปนอยู่ในแรงดันระบบ

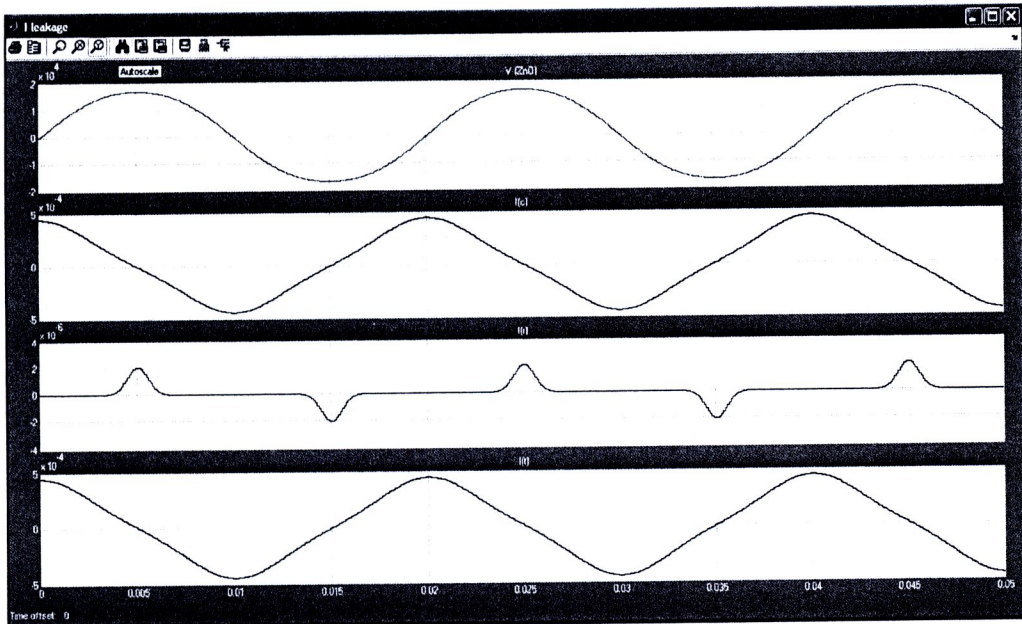
ผลการศึกษา กระแสรั่วไฟลของกับดักเสิร์จ จากแบบจำลอง โดยใช้โปรแกรม MATLAB/SIMULINK เมื่อมีส่วนประกอบสาร์โนนิกลำดับที่ 3 ตั้งแต่ 0 – 5 % ของพิกัดแรงดันใช้งานของระบบ จากรูปที่ 3.15 แสดงกระแสรั่วไฟลรวมของกับดักเสิร์จที่ได้จากการจำลองในโปรแกรม MATLAB เปรียบเทียบว่าระดับแรงดันเท่ากัน ระหว่างมีและไม่มี ส่วนประกอบสาร์โนนิกลำดับที่ 3 ของแรงดัน จากรูปแสดงให้เห็นว่า ถ้ามีส่วนประกอบแรงดันสาร์โนนิกลำดับที่ 3 ปั่นอยู่ในแรงดันระบบเพียง 3 % ก็จะทำให้มีกระแสรั่วไฟลรวมเพิ่มขึ้น ได้แม้ระดับแรงดันของระบบจะไม่มีการเปลี่ยนแปลงเลยก็ตาม เนื่องมาจากค่า X_C จะมีค่าลดลงเมื่อความถี่เพิ่มมากขึ้น



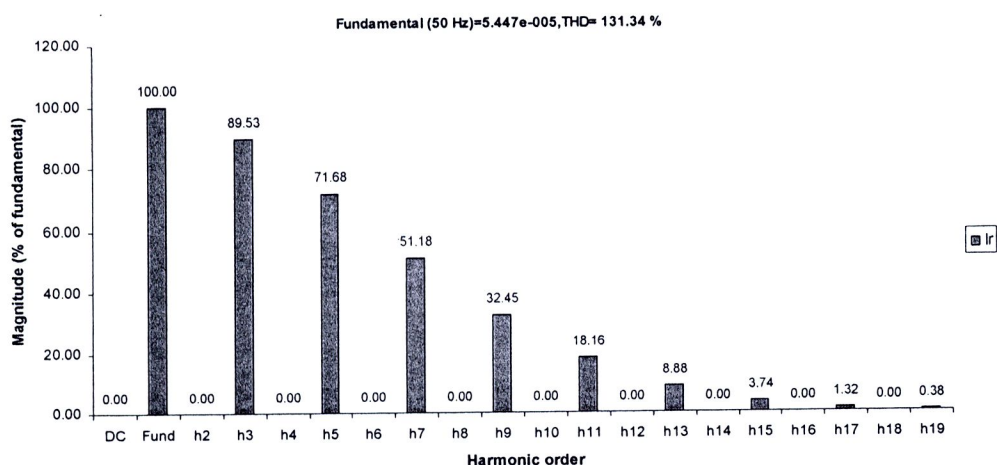
รูปที่ 3.16 แสดงอสซิลโลแกรมของแรงดันอ้างอิง กระแสรั่วไฟลรวม กระแสค่าปั๊ม และกระแสความด้านทาน เมื่อไม่มีส่วนประกอบของแรงดันสาร์โนนิกในแรงดันอ้างอิง



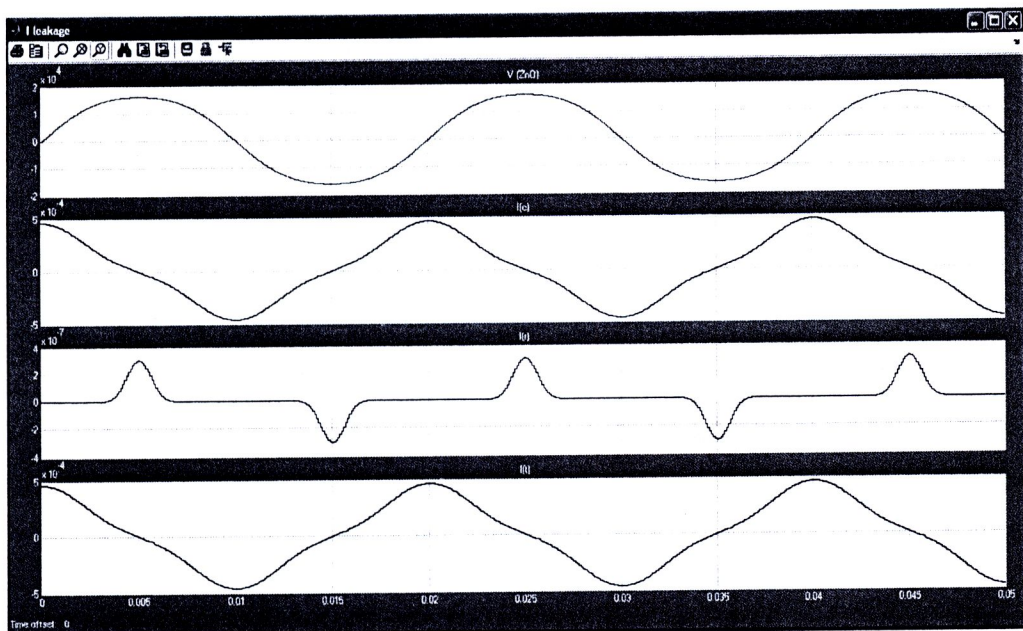
รูปที่ 3.17 แสดงสาร์โนนิกスペกตรัมของกระแสความด้านทานเมื่อไม่มีส่วนประกอบของแรงดันสาร์โนนิกในแรงดันอ้างอิง



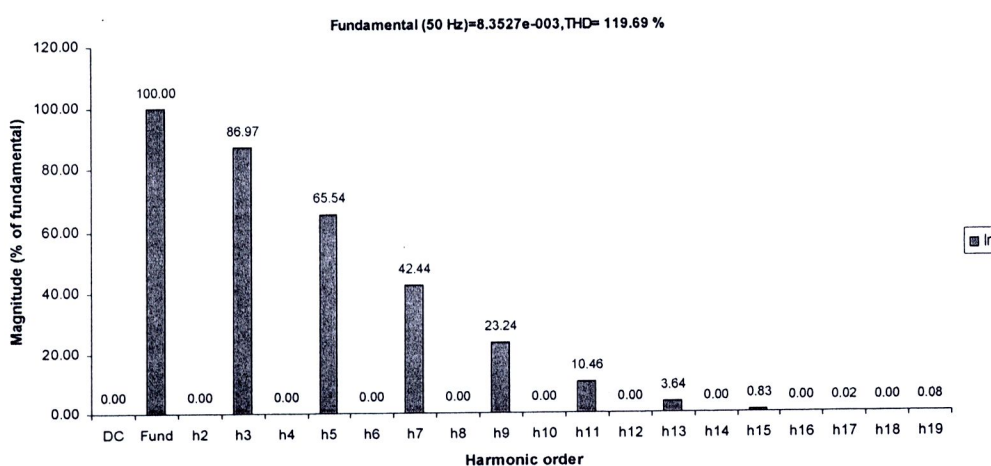
รูปที่ 3.18 แสดงของสัญญาณไฟฟ้าในระบบไฟฟ้ากระแสสลับ 4 ชั้น คือ กระแสหลัก กระแสความต้านทาน และกระแสความจืด ที่มีส่วนประกอบของกระแสคลื่นธรรมชาติที่ 3 ในกระแสหลัก 3% ที่มุมเพลส 0°



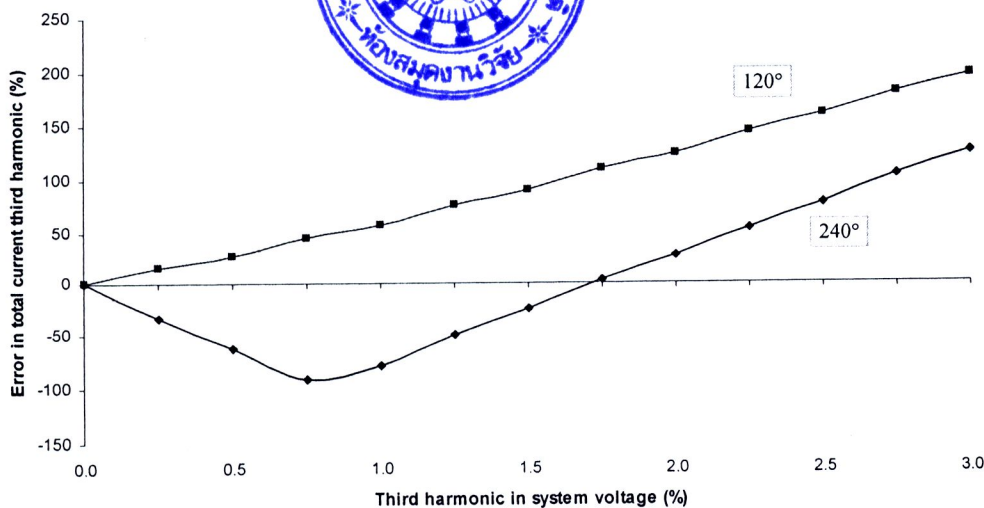
รูปที่ 3.19 แสดงค่าสเปกตรัมของกระแสความต้านทานเมื่อมีส่วนประกอบของกระแสคลื่นธรรมชาติในกระแสหลัก 3% ที่มุมเพลส 0°



รูปที่ 3.20 แสดงของสิ่ลโกลограмของแรงดันอ้างอิง กระแสร่วม กระแสค่าปัจจิฟ และกระแสความต้านทาน เมื่อมีส่วนประกอบของแรงดันชาร์โภนิกลำดับที่ 3 ในแรงดันอ้างอิง เพิ่กัน 5 % ที่มุมเฟส 0°



รูปที่ 3.21 แสดงชาร์โภนิกสเปกตรัมของกระแสความต้านทานเมื่อมีส่วนประกอบของแรงดันชาร์โภนิกในแรงดันอ้างอิง 5 % ที่มุมเฟส 0°



รูปที่ 3.22 ผลจากการจำลองหาความคลาดเคลื่อนที่มีโอกาสเกิดขึ้นได้ในการวิเคราะห์ห้ามกระแสรั่วไฟลอกกับดักเสิร์จ เมื่อมีส่วนประกอบของชาร์โอมนิกลำดับที่ 3 อยู่ในแรงดันระบบ ที่ขนาดและมุมเฟสต่างๆ กัน

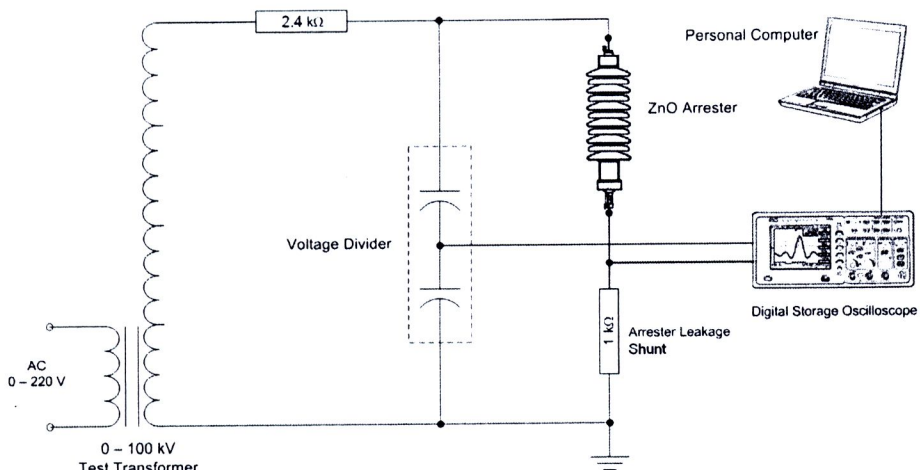
รูปที่ 3.22 แสดงผลศึกษาโดยการจำลองด้วยโปรแกรม MATLAB เพื่อหาค่าความคลาดเคลื่อนจากส่วนประกอบของชาร์โอมนิกที่ 3 ในแรงดันของระบบ โดยการเปลี่ยนแปลงขนาดของแรงดันชาร์โอมนิกที่ 3 ตั้งแต่ 0 ถึง 3% ที่มุมเฟสจาก 0° ถึง 360° เทียบกับแรงดันที่จ่ายให้กับดักเสิร์จจากการวิเคราะห์ฟูเรียร์ (Fourier analysis) ของกระแสรั่วไฟรวมด้วย FFT พบว่า ค่าความคลาดเคลื่อนของกระแสชาร์โอมนิกที่ 3 จะมีค่าสูงสุดที่มุมเฟส 120° และ 270°

โดยสรุปแหล่งที่มาของความคลาดเคลื่อนในการวัด เมื่อมีการวัดกระแสรั่วไฟลอกกับดักเสิร์จ โดยใช้หลักการวิเคราะห์ส่วนประกอบของชาร์โอมนิก คืออิทธิพลของชาร์โอมนิกลำดับที่ 3 ในแรงดันไฟฟ้าของระบบ และอุณหภูมิของกับดักเสิร์จ ซึ่งเรามักไม่ทราบค่าอุณหภูมิทำงานที่แท้จริงของกับดักเสิร์จ ดังนั้นในการศึกษาวิจัย จะใช้ผลที่ได้จากการจำลองในโปรแกรมคอมพิวเตอร์ ตามรูปที่ 3.22 เป็นข้อมูลในการศึกษาความคลาดเคลื่อน เนื่องจากส่วนประกอบของชาร์โอมนิกลำดับที่ 3 ในแรงดันของระบบกำลังไฟฟ้า และใช้ข้อมูลตามรูปที่ 3.11 ในการศึกษาความคลาดเคลื่อนเนื่องจากการเปลี่ยนแปลงอุณหภูมิใช้งานของกับดักเสิร์จ

3.3 การวัดและศึกษาค่ากระแสรั่วไฟลอกกับดักเสิร์จตัวอย่างในห้องปฏิบัติการ

ในการวัดกระแสรั่วไฟลอกกับดักเสิร์จที่ติดตั้งใช้งานอยู่ ในห้องปฏิบัติจะสามารถวัดได้เฉพาะกระแสรั่วไฟรวม ซึ่งประกอบด้วยกระแสรั่วไฟฟ้าปั๊ติฟ และกระแสรั่วความต้านทาน การวัดเฉพาะกระแสรั่วความต้านทานโดยตรงไม่สามารถทำได้ เนื่องจากกระแสรั่วความต้านทานมี

สัดส่วนที่น้อยมากเมื่อเทียบกับกระแสเร็วค่าปานิชติพ นอกจานี้ยังมีมุมไฟต่างจากกระแสเร็วค่าปานิชติพอยู่ 90° ดังนั้นจะต้องมีการเปลี่ยนแปลงขนาดของกระแสเร็วความต้านทานอย่างมาก จึงจะส่งผลให้เห็นการเปลี่ยนแปลงของกระแสเร็วไหลดรวมได้ อีกทั้งกระแสเร็วไหลดรวมยังมีความไวต่อลักษณะการติดตั้งกับดักเสริร์จ เนื่องจากกระแสเร็วค่าปานิชติพขึ้นอยู่กับค่าสเตรริคปานิชตันซ์ (stray capacitance) ซึ่งมีค่าเปลี่ยนแปลงเปลี่ยนแปลงไปตามลักษณะการติดตั้งของกับดักเสริร์จ การวัดและศึกษาค่ากระแสเร็วไหลดของกับดักเสริร์จตัวอย่างในห้องปฏิบัติการ เพื่อหาค่ากระแสเร็วไหลดอ้างอิง จึงมีความจำเป็นสำหรับการออกแบบและทดสอบ วงจรแสดงสถานะการทำงานของกับดักเสริร์จ ที่ถูกออกแบบและพัฒนาขึ้นมาในงานวิจัยนี้



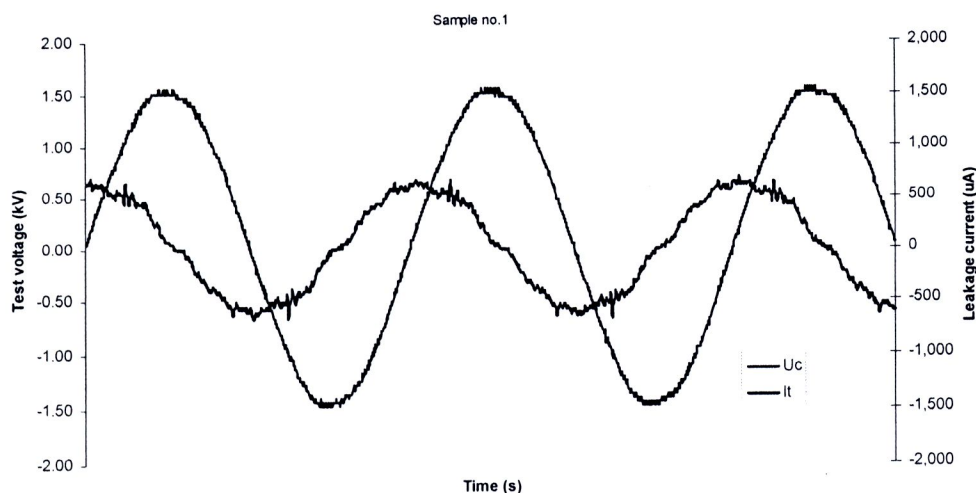
รูปที่ 3.23 แสดงการต่อวงจรวัดค่ากระแสเร็วไหลดของกับดักเสริร์จในห้องปฏิบัติการ

ในการศึกษาจะใช้กับดักเสริร์จตัวอย่าง 5 ตัวอย่าง มีขนาดพิกัดแรงดันใช้งาน และกระแสเสดิสชาร์จ (discharge current) เท่ากัน โดยเป็นกับดักเสริร์จของใหม่ที่ยังไม่เคยผ่านการใช้งานจำนวน 2 ตัวอย่าง และกับดักเสริร์จที่ผ่านการใช้งานมาแล้วจำนวน 3 ตัวอย่าง ดังแสดงในตารางที่ 3.1

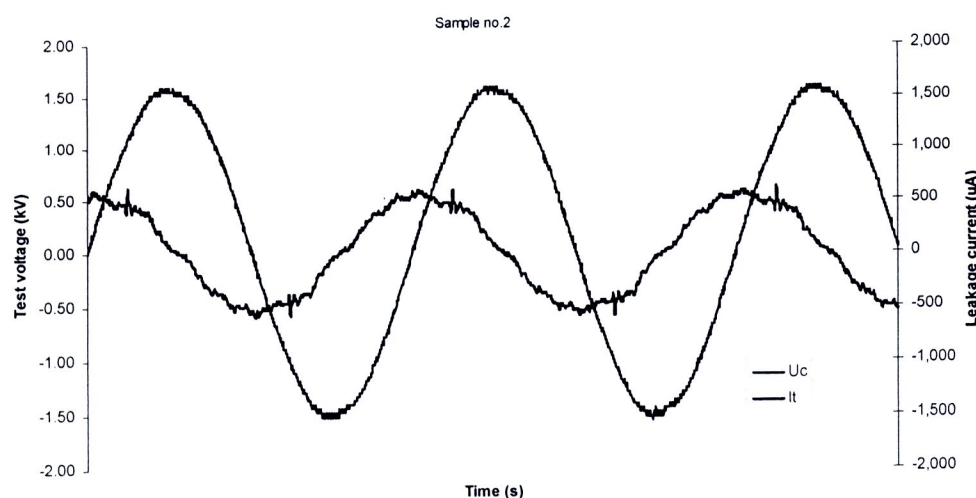
ตารางที่ 3.1 ขนาดพิกัดของตัวอย่างกับดักเสริร์จที่ใช้ในการศึกษา

Sample	According to IEC 60099-4		Rated Current (kA)
	ZnO Rated Voltage (kV)		
	U_r	U_c	
NEW-1	21	17	5
NEW-2	21	17	5
OLD-1	21	17	5
OLD-2	21	17	5
OLD-3	21	17	5

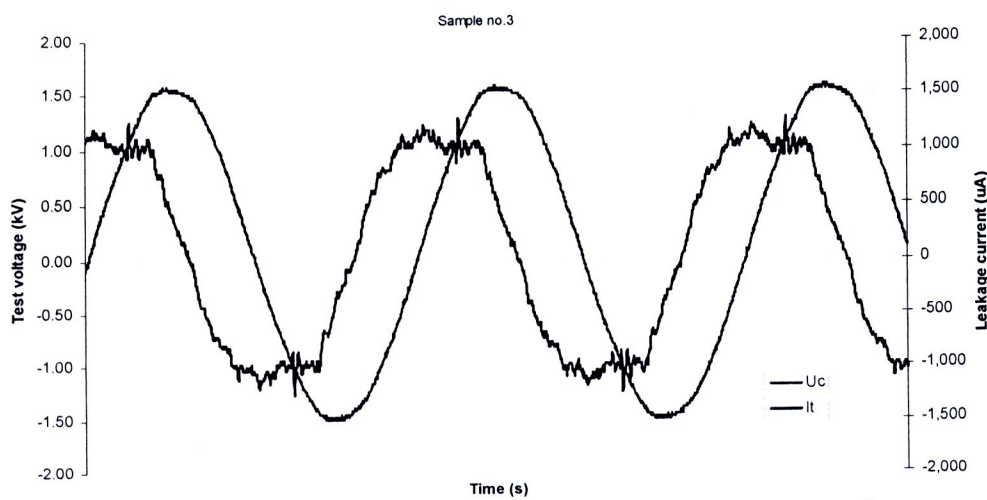
ในการทดสอบจะใช้หน้าอุปกรณ์ทดสอบ ขนาดพิกัดแรงดัน 240/100 kV เป็นแหล่งจ่ายแรงดัน ป้อนแรงดันทดสอบที่ระดับ 12.7rms kV (22 kV line-to-neutral system voltage) วัดค่าแรงดันทดสอบ ผ่านคาปิติฟโวอลเตจดิไวเดอร์ (capacitive voltage divider) ขนาดอัตราส่วนแรงดัน 501 : 1 และวัดค่ากระแสรั่วไฟลของกับดักเกอร์จด้วยความต้านทานชันท์ (shunt resistor) เก็บผลข้อมูลการทดสอบด้วยคิจ托ลสตอร์เรจสโคป โดยมีรูปคลื่นสัญญาณของแรงดัน และกระแสรั่วไฟลรวมของกับดักเกอร์ดังแสดงตามรูปที่ 3.24 ถึง รูปที่ 3.29



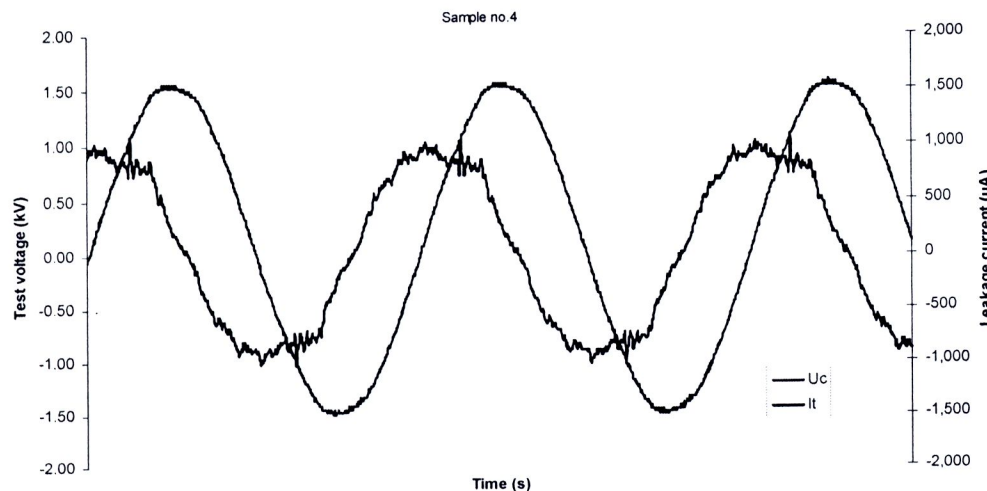
รูปที่ 3.24 แสดงกระแสรั่วไฟลรวมเทียบกับแรงดันอ้างอิงของกับดักเกอร์ ตัวอย่างทดสอบ NEW-1



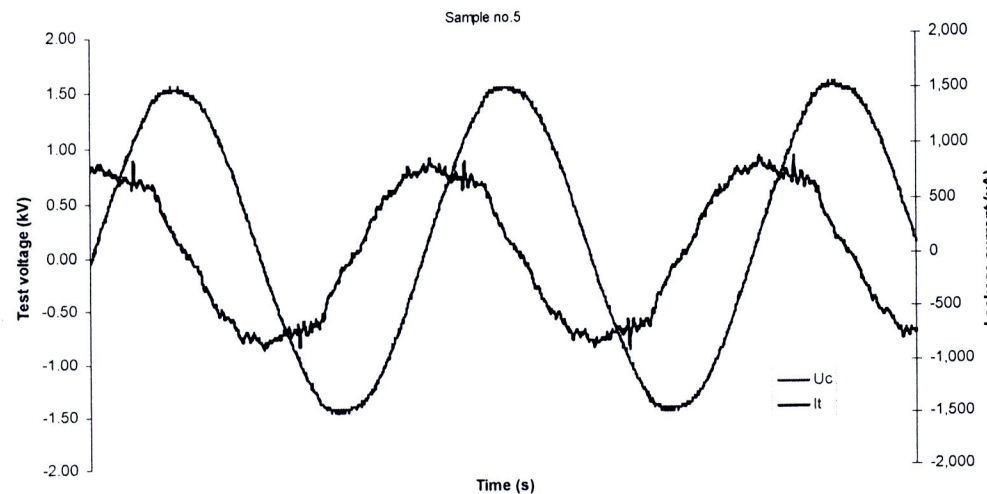
รูปที่ 3.25 แสดงกระแสรั่วไฟลรวมเทียบกับแรงดันอ้างอิงของกับดักเกอร์ ตัวอย่างทดสอบ NEW-2



รูปที่ 3.26 แสดงกระแสเร็วไฟธรรมเทียบกับแรงดันอ้างอิงของกับดักเสิร์จ ตัวอย่างทดสอบที่ OLD-1



รูปที่ 3.27 แสดงกระแสเร็วไฟธรรมเทียบกับแรงดันอ้างอิงของกับดักเสิร์จ ตัวอย่างทดสอบ OLD-2



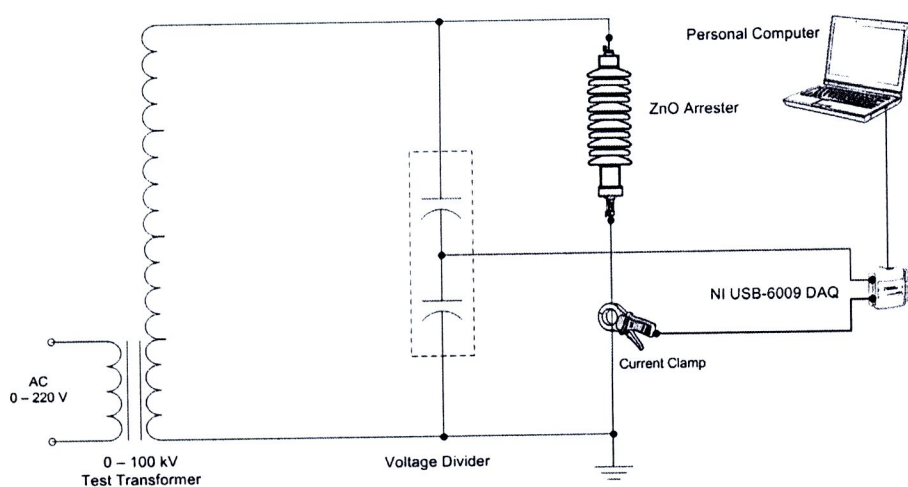
รูปที่ 3.28 แสดงกระแสเร็วไฟธรรมเทียบกับแรงดันอ้างอิงของกับดักเสิร์จ ตัวอย่างทดสอบ OLD-3

ในการทดสอบจะควบคุมแรงดันทดสอบระหว่างขั้วของกับดักเสิร์จ ให้มีค่าอยู่ที่ $29.7b$ kV (peak voltage) เพื่อไม่ให้เกินค่าระดับแรงดันอ้างอิง U_r (21 kVrms) เนื่องจากเมื่อกับดักเสิร์จได้รับแรงดันปกติของระบบไฟฟ้า จะมีกระแสเร็วความต้านทานไฟลน้อยมาก เมื่อเทียบกับกระแสเร็วคาปิติฟ แต่เมื่อกับดักเสิร์จได้รับแรงดันสูงขึ้นจนถึงระดับแรงดันอ้างอิง ซึ่งเป็นบริเวณที่กับดักเสิร์จเริ่มที่จะทำงาน คือเริ่มน้ำกระแส จึงมีกระแสเร็วความต้านทานไฟลเพิ่มมากขึ้น จนมีขนาดสูงกว่ากระแสเร็วคาปิติฟ ดังนั้นการทดสอบจึงจำเป็นต้องทำด้วยความระมัดระวังและรวดเร็ว เพื่อไม่ให้กับดักเสิร์จได้รับความเสียหายเนื่องจากความร้อนที่เพิ่มมากขึ้น

จากการทดสอบพบว่า ค่ากระแสเร็วไฟลรวมที่ไฟลผ่านกับดักเสิร์จที่ยังไม่ผ่านการใช้งาน (NEW-1, NEW-2) มีค่าอยุ่ประมาณ $500 \mu\text{A} - 600 \mu\text{A}$ และกับดักเสิร์จที่ผ่านการใช้งานมาแล้ว (OLD-1, OLD-2, OLD-3) มีค่าอยุ่ประมาณ $800 \mu\text{A} - 1,200 \mu\text{A}$ ค่าที่ได้นี้จะใช้เป็นค่าอ้างอิงในการทดสอบจะแสดงสถานะการทำงานของกับดักเสิร์จที่สร้างขึ้น

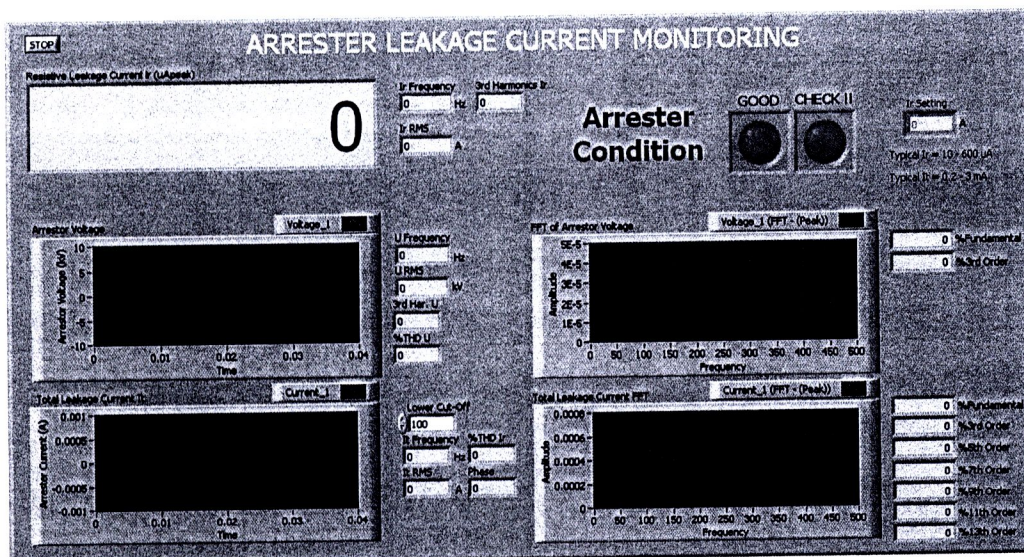
3.4 การออกแบบและสร้างวงจรแสดงสถานะการทำงานของกับดักเสิร์จโดยใช้โปรแกรม LabVIEW

หลักการวัดค่ากระแสเร็วไฟล ของวงจรแสดงสถานะการทำงานของกับดักเสิร์จ แสดงในรูปที่ 3.29 จากรูปสัญญาณกระแสเร็วไฟลรวมผ่านกับดักเสิร์จจากแคลมป์วัดกระแส (current clamp) และสัญญาณแรงดันอ้างอิงของระบบจากโวลเตจดิจิตอลเดอร์ จะเห็นมต่อเข้าคอมพิวเตอร์ผ่านทางวงจรรับข้อมูล (data acquisition) NI USB-6009 DAQ ข้อมูลของกระแสและแรงดันที่ได้ จะนำมายังเครื่องที่ด้วยโปรแกรม LabVIEW เพื่อหาค่ากระแสโนนิกลำดับที่ 3 ซึ่งเป็นสัดส่วนโดยตรงกับกระแสเร็วความต้านทาน จากนั้นนำค่ากระแสโนนิกลำดับที่ 3 ที่ได้จากการวิเคราะห์ไปคำนวณปรับสัดส่วน (rescale) โดยมีการขยายความคลาดเคลื่อนจากส่วนประกอบสาร์โนนิกลำดับที่ 3 ของแรงดันด้วย เพื่อให้ได้ค่ากระแสเร็วความต้านทานที่ถูกต้อง นำค่าที่ได้จากการวัด และการวิเคราะห์ไปแสดงผล เพื่อแสดงสถานะของกับดักเสิร์จ โดยในโปรแกรมที่ออกแบบไว้ในสามารถกำหนดจุดอ้างอิง (set point) ของกระแสเร็วไฟลสูงสุดที่ยอมรับได้ เพื่อให้มีการแจ้งเตือน (alarm) เมื่อกระแสเร็วความต้านทานของกับดักเสิร์จ มีค่าสูงกว่าจุดอ้างอิงที่กำหนดไว้

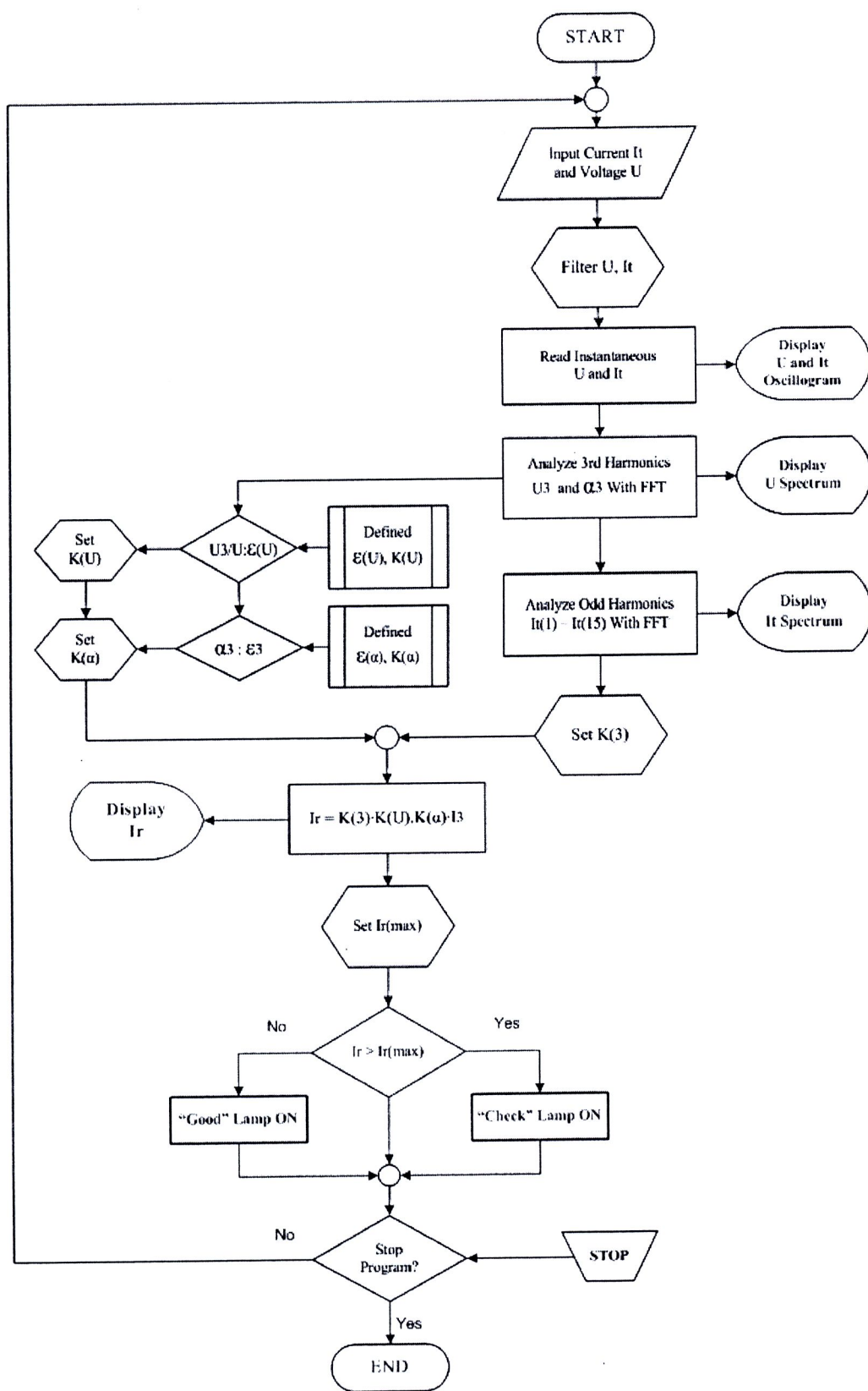


รูปที่ 3.29 แสดงการต่อวงจรแสดงสถานะการทำงานของกับดักเสิร์จ

รูปที่ 3.30 แสดงหน้าจอแสดงผลของการแสดงสถานะการทำงานของกับดักเสิร์จ โดยจะแสดงผลสัมประสิทธิ์ของแรงดันอ้างอิง กระแสรั่วไฟลุ่ม กระแสรั่วคาป่าซิติฟ กระแสรั่วความด้านทานพร้อมค่าหาร์โนนิกสเปกตรัม (harmonics spectrum) และส่วนประกอบหาร์โนนิก ลำดับที่ 3 พร้อมค่ามุนเฟสซิฟท์ของแรงดันระบบ รูปที่ 3.31 แสดงไฟล์ชาร์ตการทำงานบนโปรแกรม LabVIEW ที่ใช้เพื่อออกแบบและแสดงผลตามที่กำหนดไว้

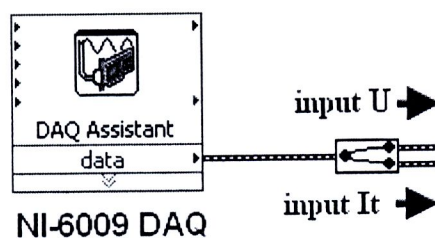


รูปที่ 3.30 หน้าจอแสดงสถานะการทำงานของกับดักเสิร์จตามที่ออกแบบไว้

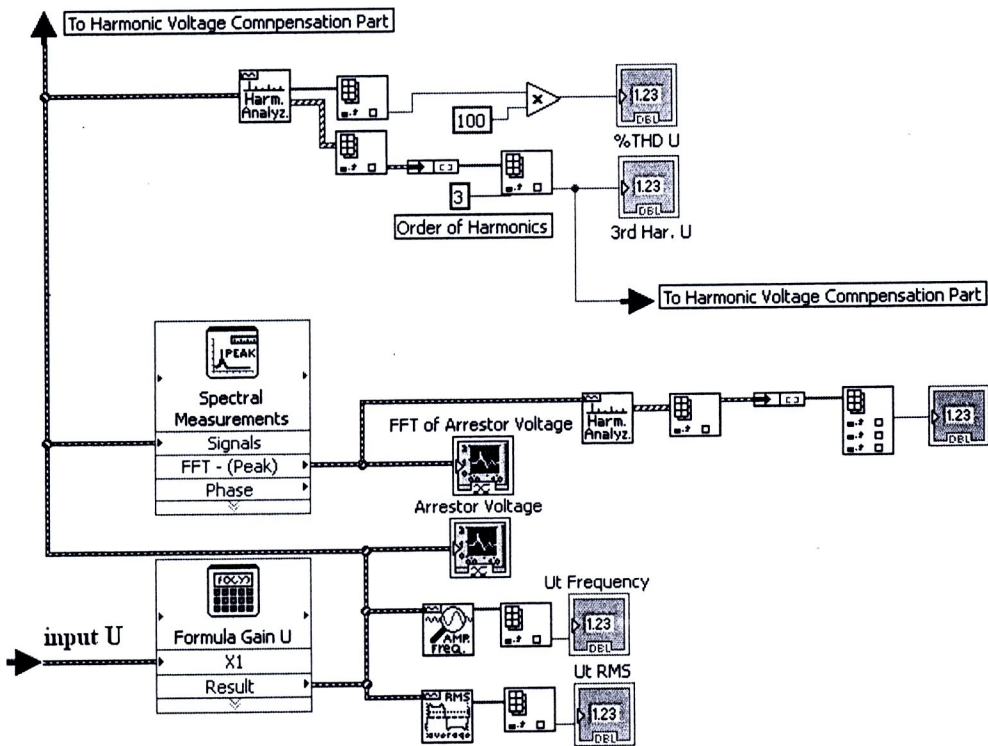


รูปที่ 3.31 โฟล์วชาร์ตการทำงานบนโปรแกรม LabVIEW

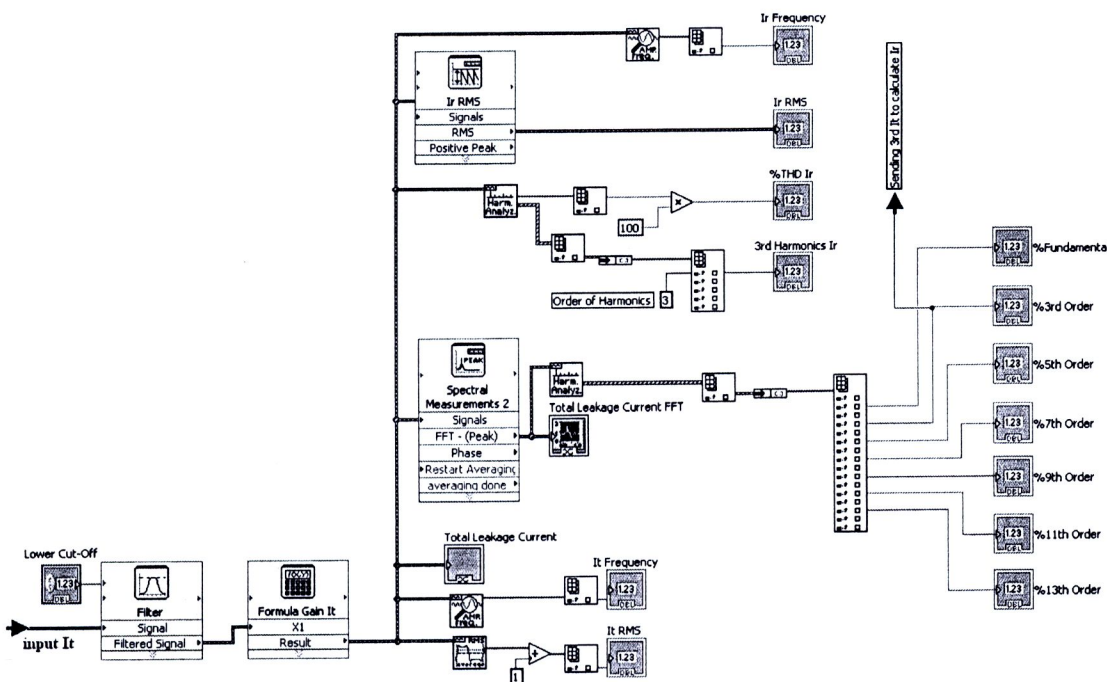
รูปที่ 3.32 ถึงรูปที่ 3.35 แสดงงบล็อกไกด์ของโปรแกรม LabVIEW ในส่วนต่างๆ ได้แก่ ส่วนรับข้อมูลจาก NI-6009 DAQ ส่วนแสดงค่าแรงดันของระบบคร่อมกับดักเสิร์จ ส่วนหาค่ากระแสไฟฟ้าปานกลาง และคำนวณค่ากระแสรั่วความต้านทาน ส่วนแสดงค่ากระแสรั่วไฟรวมผ่านกับดักเสิร์จ และรูปที่ 3.36 แสดงงบล็อกไกด์ของวงจรสมมูลน้ำแสดงสถานะการทำงานของกับดักเสิร์จ บนโปรแกรม LabVIEW



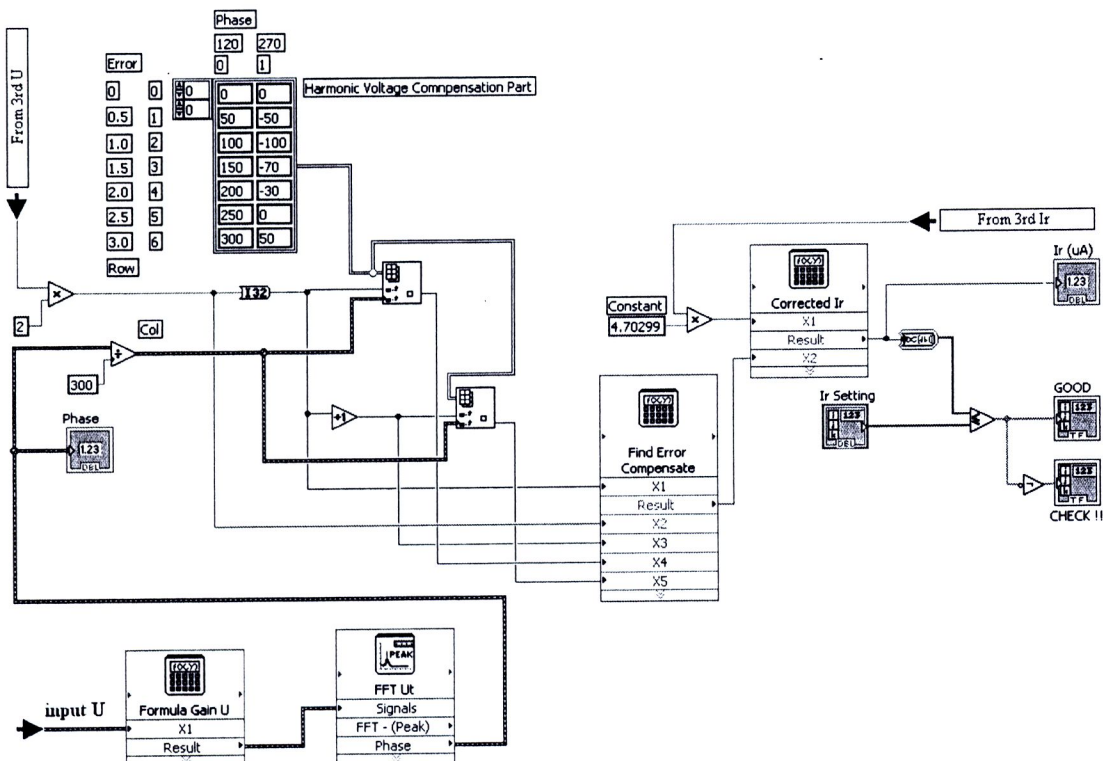
รูปที่ 3.32 แสดงบล็อกไกด์ของโปรแกรม LabVIEW ส่วนรับข้อมูลจาก NI-6009 DAQ



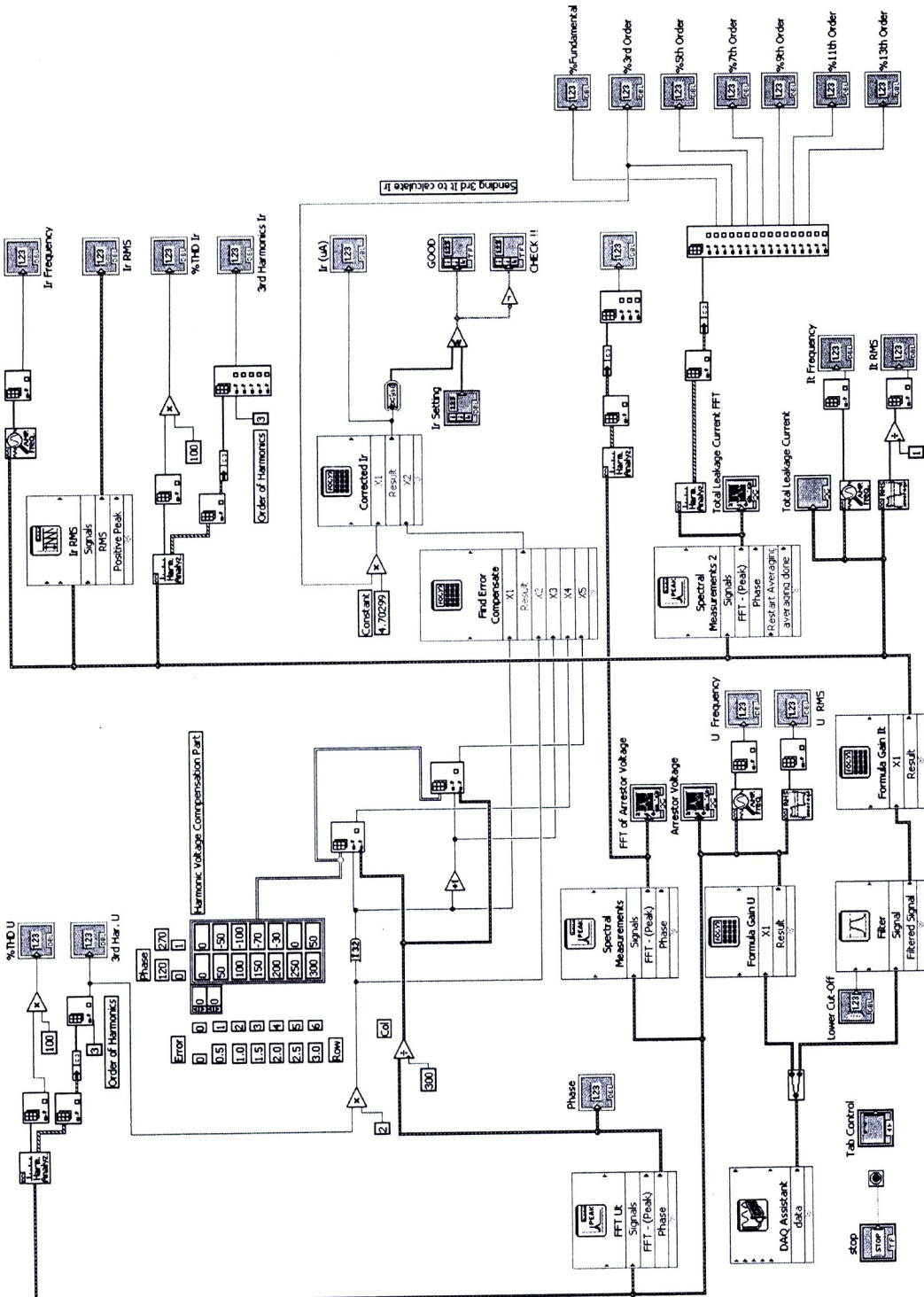
รูปที่ 3.33 แสดงบล็อกไกด์ของโปรแกรม LabVIEW ส่วนแสดงค่าแรงดันต่อกันคร่อมกับดักเสิร์จ



รูปที่ 3.34 แสดงบล็อกๆ โค้ดของโปรแกรมนั้น โปรแกรม LabVIEW ส่วนแสดงค่ากระแสเร็วที่หลอมรวมผ่านกับคักเสื่อม



รูปที่ 3.35 แสดงบล็อกๆ โค้ดของโปรแกรมนั้น โปรแกรม LabVIEW ของส่วนวิเคราะห์และคำนวณค่ากระแสเร็วความด้านท่าน



รูปที่ 3.36 แสดงบล็อกไคของโปรแกรมวัดและแสดงสถานะของกับดักเดริ่งบนโปรแกรม LabVIEW